arXiv:math/0504054v1 [math.CV] 4 Apr 2005

Contractibilité et sphéricité des hypersurfaces strictement pseudoconvexes.

Emmanuel Opshtein

21 novembre 2018

Résumé

Nous proposons une preuve élémentaire de la caractérisation des hypersurfaces sphériques comme les seules hypersurfaces strictement pseudoconvexes de $\mathbb{C}^k$ possèdant des germes de difféomorphismes contractants. A la différence de démonstrations antérieures, notre approche n'utilise pas la théorie de Chern-Moser et repose entièrement sur les techniques de dilatations de coordonnées de Pinchuk. Nous donnons également quelques applications de ce résultat.

Introduction.

Dans cet article, nous étudions la géométrie CR des hypersurfaces strictement pseudoconvexes de $\mathbb{C}^k$ au moyen des techniques de dilatations de coordonnées introduites par Pinchuk ([21], 1978). Nous nous intéressons à la question suivante : un germe d'hypersurface strictement pseudoconvexe de $\mathbb{C}^k$ peut-il être contracté sur l'un de ses points par une suite de difféomorphismes CR qui préserve l'hypersurface ?

Les travaux de Chern et Moser ([12], 1974) conduisent à une liste complète d'invariants CR des hypersurfaces Levi non-dégénérées. Dans une situation contractante ces invariants sont constants et cela suggère une certaine homogénéité de la surface. Ainsi, Webster ([23], 1974), Burns-Shnider ([11], 1977), Beloshapka ([5], 1977) et Loboda ([16], 1979) établirent le résultat suivant :

Théorème 1. *Soient S et S' deux hypersurfaces strictement pseudoconvexes de $\mathbb{C}^k$ (éventuellement à bord). S'il existe une suite $(f_n)_n$ de difféomorphismes CR de S à valeurs dans S' qui converge localement uniformément vers un point de S' alors S est localement sphérique, i.e. localement CR-difféomorphe à un ouvert de la sphère euclidienne.*

La démarche de Webster et Burns-Shnider est la suivante. La résolution du problème de G-structure effectuée dans [12] produit un tenseur CR-invariant nul si et seulement si l'hypersurface est sphérique. Dans le cas non-sphérique, une normalisation de cet invariant conduit à la réduction du groupe structural de l'hypersurface à $U(k-1)$. Plus concrètement, ceci montre l'existence d'une distance CR-invariante sur les hypersurfaces non-sphériques et interdit donc tout comportement dynamiquement contractant. Beloshapka et Loboda déduisent quant à eux ce théorème d'une étude de l'action des difféomorphismes CR sur les chaînes, et plus précisément d'un résultat de linéarisation locale du groupe d'automorphismes CR de l'hypersurface ainsi qu'au théorème 1.

Un analogue de ce théorème pour les biholomorphismes des domaines est le théorème de Wong-Rosay. En 1977, Wong [24] caractérisa la boule unité parmi les domaines strictement pseudoconvexes bornés de $\mathbb{C}^k$ comme étant le seul à posséder un groupe d'automorphismes non-compact. Rosay donna une version semi-locale de l'argument de Wong ([22], 1979), puis Pinchuk en donna un démonstration basée sur les techniques de dilatations de coordonnées.

Théorème (Wong-Rosay). *Soit Ω un domaine de $\mathbb{C}^k$ et $(f_n)_n$ une suite d'automorphismes de Ω. S'il existe un point $z_0 \in \Omega$ dont l'orbite $\{f_n(z_0)\}_n$ accumule un point au voisinage duquel $b\Omega$ est lisse et strictement pseudoconvexe alors Ω est biholomorphiquement équivalent à la boule unité de $\mathbb{C}^k$.*

Les techniques de dilatations ont également permis des généralisations de ce résultat au cas faiblement pseudoconvexe. Un théorème analogue a été obtenu par Berteloot [6] lorsque le point d'impact est de type fini dans $\mathbb{C}^2$ et par Gaussier [14] dans le cas convexe de type fini en toutes dimensions. Bedford-Pinchuk avaient auparavant caractérisé les domaines dont la frontière est globalement de type fini dans $\mathbb{C}^2$ ou convexe de type fini dans $\mathbb{C}^k$ et dont le groupe d'automorphisme est non-compact ([2, 1, 3]). Ainsi notre étude est susceptible de s'étendre au cas faiblement pseudoconvexe.

Résumons Le principe de notre preuve. Après les avoir prolongées en des applications holomorphes entre des domaines soutenus par S et S', nous renormalisons la suite de ces applications en les composant au but par des dilatations anisotropes bien choisies (partie 1). Le problème est alors de voir que la suite renormalisée converge vers un biholomorphisme entre le domaine source et un ouvert de la boule soutenu par une portion de la sphère (partie 3). La difficulté principale est de s'assurer de la non-dégénérescence de l'application limite. Ce problème ne se présente pas dans la situation de Wong-Rosay. Nous le surmontons en quantifiant la dilatation des applications CR (partie 2). Ceci se révèlera également utile pour les applications que nous présentons dans la partie 4.

Je tiens à remercier François Berteloot pour son aide lors de la rédaction de cet article.

Notations et conventions :

- Pour $z \in \mathbb{C}^k$ $(k \geq 2)$, nous noterons $z = (z_1, z')$, où $z_1 \in \mathbb{C}$ et $z' \in \mathbb{C}^{k-1}$.
- Pour une hypersurface réelle lisse M de $\mathbb{C}^k$, on note $\mathcal{SPC}(M)$ l'ensemble des points de stricte pseudoconvexité de M.
- Lorsque M est une hypersurface réelle lisse strictement convexe de $\mathbb{C}^k$ et q est un point de M, on note :
  - $\vec{N}(q)$ le vecteur unitaire normal à M en q dirigé vers la partie convexe de $\mathbb{C}^k \backslash M$,
  - Λ_q la forme linéaire $\Lambda_q(\cdot) = \langle \vec{N}(q), \cdot \rangle$,
  - q_ε le point $q + \varepsilon \vec{N}(q)$,
  - $B_\varepsilon(q)$ la boule centrée en q_ε et de rayon ε ; cette boule est tangente à M en q,
  - $B_\varepsilon^+(q) := B_\varepsilon(q) \cap \{\Lambda_q \geq \varepsilon\}$.
- Lorsque Ω et Ω' sont des domaines de $\mathbb{C}^k$ et U est inclus dans $b\Omega$, nous dirons qu'une application F de Ω dans Ω' est propre relativement à U si $F \in \mathcal{C}^\infty(\Omega \cup U)$ et $F(U) \subset b\Omega'$.
- Enfin, lorsque D est un domaine de $\mathbb{C}^k$, et $\lambda \in \mathbb{R}$, nous noterons

$$D_\lambda := D \cap \{\mathrm{Re}\, z_1 < \lambda\} \qquad D_\lambda^+ := D \cap \{\mathrm{Re}\, z_1 \geq \lambda\}$$
$$[bD]_\lambda := bD \cap \{\mathrm{Re}\, z_1 < \lambda\} \quad [bD]_\lambda^+ := bD \cap \{\mathrm{Re}\, z_1 \geq \lambda\}.$$

1 Renormalisation de la suite f_n.

Commençons par décrire et simplifier la situation géométrique sous-jacente aux hypothèses du théorème 1.

Appelons a le point de S' vers lequel $(f_n)_n$ converge. Soit p un point de S. Le but est de trouver un voisinage de p dans S qui est CR-difféomorphe à un ouvert de la sphère. Ce problème ne dépend évidemment pas des systèmes de coordonnées holomorphes en p et en a. Comme les surfaces S et S' sont strictement pseudoconvexes, on peut les supposer

strictement *convexes* sur des voisinages U_2 et U' de p et a respectivement. De même, on peut supposer $\Lambda_p = \Lambda_a = \mathrm{Re}\, z_1$, $U_2 = S \cap \{\mathrm{Re}\, z_1 < 2\}$ et $U' = S' \cap \{\mathrm{Re}\, z_1 < 1\}$. Il existe alors deux domaines bornés de $\mathbb{C}^k$ strictement convexes, Ω et Ω' tels que $U_2 = [b\Omega]_2$ et $U' = [b\Omega']_1$.

Quitte à éliminer de la suite $(f_n)_n$ un nombre fini d'éléments, on peut supposer que $f_n([b\Omega]_2) \subset U'$ pour tout $n \in \mathbb{N}$. Les théorèmes classiques de prolongement des applications CR (voir [10], chap. 15) montrent que f_n se prolonge en une application holomorphe de Ω_2 dans $\mathbb{C}^k$ que nous noterons abusivement f_n. Comme Ω'_1 possède une fonction $p.s.h$ définissante ρ, le principe du maximum appliqué aux restrictions de $\rho \circ f_n$ sur les hyperplans complexes $\{z_1 = c\}$ assure que $f_n(\Omega_2) \subset \Omega'_1$. Un argument similaire prouve que la suite (f_n) converge uniformément vers a sur Ω_2.

Posons enfin $y_0 := (1, 0)$, $y_n := f_n(y_0)$, $p_n := f_n(p)$, de sorte que y_n et p_n tendent vers a. La figure 1 illustre la situation.

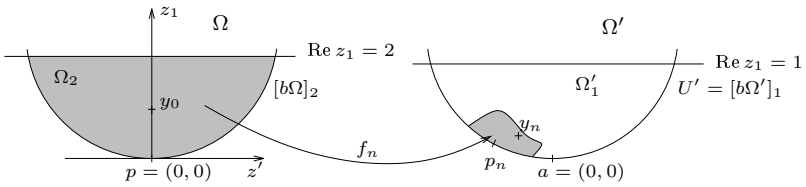

FIG. 1 – Situation géométrique du théorème 1.

1.1 Dilatations de coordonnées.

Nous décrivons une technique de dilatation de coordonnées naturellement associée au couple (p_n, y_n). Elle procède d'une légère modification de la méthode introduite par Pinchuk (voir [19, 8]). On peut supposer que U' possède une fonction définissante χ donnée par :

$$\chi(z) := -\mathrm{Re}\, z_1 + \|z\|^2 + a(z)\|z\|^3 \text{ où } a(z) \in \mathcal{O}(1).$$

L'opération de remise à l'échelle en $q \in U'$ de paramètre ε, notée $\mathcal{R}_{q,\varepsilon}$, consiste en une composition de deux biholomorphismes de $\mathbb{C}^k$, Ψ_q et D_ε, et d'une transformation birationnelle Φ de $\mathbb{C}^k$:

$$\mathcal{R}_{q,\varepsilon} = \Phi \circ D_\varepsilon \circ \Psi_q.$$

• Ψ_q est la composition d'une translation qui envoie q sur l'origine et d'une transformation unitaire de $\mathbb{C}^k$ qui rend horizontal le plan tangent à $b\Omega$ en q (*i.e.* défini par $\mathrm{Re}\, z_1 = 0$). Dans ces coordonnées, $\chi_q := \chi \circ \Psi_q^{-1}$ est de la forme :

$$\chi_q(z) = -\mathrm{Re}\, z_1 + Q_q(z) + a_q(z)\|z\|^3 \tag{1}$$

où Q_q est le hessien réel de χ_q en 0. Il s'agit d'une forme quadratique réelle définie positive sur $\mathbb{C}^k = \mathbb{R}^{2k}$ car U' est strictement convexe. La fonction $a_q(z)$ est majorée sur Ω'_1 indépendamment de $q \in U'$ car $b\Omega'$ est $\mathcal{C}^3$. Remarquons que $\Psi_a = Id$, $Q_a = \|\cdot\|$ et que les applications $q \mapsto \Psi_q$ et $q \mapsto Q_q$ sont continues en raison du caractère lisse de U'.

• D_ε est la dilatation anisotrope $\mathbb{C}$-linéaire

$$D_\varepsilon : (z_1, z') \longmapsto \left(\frac{z_1}{\varepsilon}, \frac{z'}{\sqrt{\varepsilon}}\right).$$

Il s'agit d'un changement d'échelle naturel associé à la stricte pseudoconvexité. Un calcul simple montre que la fonction définissante $\chi_{q,\varepsilon}$ de $D_\varepsilon \circ \Psi_q(U')$ définie par $\chi_{q,\varepsilon} := \frac{1}{\varepsilon}\chi_q \circ D_\varepsilon^{-1}$ s'écrit :

$$\chi_{q,\varepsilon}(z_1, z') = -\mathrm{Re}\, z_1 + Q_q\big((0, z')\big) + O(\sqrt{\varepsilon}).$$

• Φ est la transformation de Cayley

$$\Phi : (z_1, z') \longmapsto \left(\frac{z_1 - 1}{z_1 + 1}, \frac{2z'}{z_1 + 1}\right)$$

qui transforme $\Sigma := \{\mathrm{Re}\, z_1 \geq \|z'\|^2\}$ en $B := \{|z_1|^2 + \|z'\|^2 \leq 1\}$. Remarquons que $D_\varepsilon \circ \Psi_q(\Omega')$ est inclus dans le demi-espace $\{\mathrm{Re}\, z_1 > 0\}$ en raison de la convexité de Ω'. La transformation $\mathcal{R}_{q,\varepsilon} = \Phi \circ D_\varepsilon \circ \Psi_q$ est par conséquent bien définie sur Ω'.

Nous allons maintenant définir une suite de remises à l'échelle $\mathcal{R}_n := \mathcal{R}_{p_n,\varepsilon_n}$ associée à la suite (p_n, y_n) ; voir la figure 2. A cet effet, observons que $\{\mathcal{R}_{q,\varepsilon}^{-1}(\{\mathrm{Re}\, z_1 = 0\}), \varepsilon > 0\}$ définit un feuilletage de $\mathbb{C}^k \backslash T_q^{\mathbb{C}} b\Omega'$ dont les feuilles sont des cylindres euclidiens centrés en $T_q^{\mathbb{C}} b\Omega'$:

$$F_{q,\varepsilon} := \mathcal{R}_{q,\varepsilon}^{-1}(\{\mathrm{Re}\, z_1 = 0\}) = \{z \in \mathbb{C}^k,\ d(z, T_q^{\mathbb{C}} b\Omega') = \varepsilon\}.$$

En raison de la convexité de Ω', tout point $z \in \Omega'$ appartient à une unique feuille $F_{q,\varepsilon_q(z)}$, $\varepsilon_q(z) > 0$. Ceci nous permet d'énoncer la définition suivante :

Définition 1.1. *La remise à l'échelle $\mathcal{R}_n$ associée à la suite (p_n, y_n) est définie par $\mathcal{R}_n := \mathcal{R}_{p_n,\varepsilon_n}$ où $\varepsilon_n := \varepsilon_{p_n}(y_n)$ est l'unique réel tel que $y_n \in F_{p_n,\varepsilon_n}$. On pose $F_n := \mathcal{R}_n \circ f_n$, $\widetilde{\Omega}_n := \mathcal{R}_n(\Omega')$ et $\widetilde{y}_n := \mathcal{R}_n(y_n)$.*

Grâce à ces choix nous disposons d'une suite d'applications F_n telles que (voir fig. 2) :

$$\begin{array}{rccl} F_n & : & \Omega_2 & \longrightarrow & \widetilde{\Omega}_n \\ & & p & \longmapsto & a = (-1, 0) \\ & & y_0 & \longmapsto & \widetilde{y}_n \in \{\mathrm{Re}\, z_1 = 0\}. \end{array}$$

Notons que la convergence de p_n et y_n vers a implique que $\varepsilon_{p_n}(y_n)$ tend vers 0. Il est bien connu que la suite de domaines $\widetilde{\Omega}_n$ tend vers la boule B au sens $\mathcal{C}^2$ sur les compacts de $\mathbb{C}^{k+1} \backslash \{z_1 = 1\}$. L'objet de la proposition suivante est de mieux contrôler cette convergence. Ceci se révèlera utile dans la troisième partie. Commençons par observer que Ω' est inclus dans toutes les paraboles tangentes à $b\Omega'$ de courbure assez petite :

Lemme 1.2. *Il existe une constante $c > 0$ telle que $\Psi_q(\Omega') \subset \{Re\, z_1 > c\|z\|^2\}$ pour tout $q \in b\Omega'$.*

Preuve : Raisonnons par l'absurde, supposons qu'il existe une suite de réels c_n qui tend vers 0 et des points distincts $p_n, p_n' \in b\Omega'$ tels que $p_n' \in \mathcal{P}_n := \Psi_{p_n}^{-1}\big(\{\mathrm{Re}\, z_1 > c_n\|z\|^2\}\big)$ ($\mathcal{P}_n$ est une parabole tangente à $b\Omega'$ en p_n). Comme $b\Omega'$ est compact, on peut supposer que p_n et p_n' convergent vers deux points $p, p' \in b\Omega'$. Nous allons montrer que $p \neq p'$. Ceci contredira la stricte convexité de Ω' puisqu'alors $p \neq p' \in T_p b\Omega' \cap b\Omega'$ (la suite de paraboles $\mathcal{P}_n$ converge sur les compacts vers $T_p b\Omega'$ car c_n tend vers 0 et p_n tend vers p).

On peut évidemment supposer que $p = 0$. Rappelons que (1) donne l'expression d'une fonction définissante de $\Psi_q(U')$ pour $q \in U'$. Pour q suffisamment proche de l'origine, on peut supposer que $Q_q(z) \geq 1/2\|z\|^2$. Il existe donc un voisinage B de l'origine dans $\mathbb{C}^k$ tel que

$$\Psi_q(\Omega' \cap B) \subset \{\mathrm{Re}\, z_1 > \frac{\|z\|^2}{3}\}.$$

Comme c_n tend vers 0, le point p'_n est hors de B donc $p' \neq p$. □

Nous dirons qu'une suite de domaines D_n converge vers un domaine D au sens $\mathcal{C}^2$ sur un compact K si $K \cap \overline{D_n}$ tend vers $K \cap \overline{D}$ au sens de la topologie de Hausdorff et si les fonctions définissantes $\chi_{i,n}$ de D_n sur les ouverts U_i d'un recouvrement de D convergent en norme $\mathcal{C}^2$ vers des fonctions définissantes χ_i de $D \cap U_i$.

Proposition 1.3. *La suite de domaines $(\widetilde{\Omega}_n)$ converge vers B au sens $\mathcal{C}^2$ sur les compacts de $\mathbb{C}^k \backslash \{(1,0)\}$.*

Preuve : Les domaines $\widetilde{\Omega}_n$ sont de la forme

$$\widetilde{\Omega}_n = \Phi \circ D_{\varepsilon_n} \circ \Psi_{p_n}(\Omega')$$

où ε_n tend vers 0. On sait que la suite de domaines $D_{\varepsilon_n} \circ \Psi_{p_n}(\Omega')$ tend vers Σ au sens $\mathcal{C}^2$ sur les compacts de $\mathbb{C}^k$ (voir [19]) et que la transformation de Cayley Φ transforme Σ en B en faisant correspondre l'infini à $\{z_1 = 1\}$. Il suffit donc de vérifier qu'il existe une fonction $r(\delta)$ tendant vers 0 avec δ telle que :

$$\widetilde{\Omega}_n \cap \{|z_1 - 1| < \delta\} \subset B[(1,0), r(\delta)] \quad \forall n \in \mathbb{N}.$$

Or ceci résulte du lemme 1.2. En effet, d'après ce lemme, il existe $c > 0$ tel que $\Psi_{p_n}(\Omega') \subset \{\mathrm{Re}\, z_1 > c\|z'\|^2\}$ pour tout $n \in \mathbb{N}$. En outre, on vérifie aisément que $\Phi \circ D_{\varepsilon_n}(\{\mathrm{Re}\, z_1 > c\|z'\|^2\}) = E_c := \{|z_1|^2 + c\|z'\|^2 < 1\}$. L'inclusion attendue résulte alors immédiatement de

$$\widetilde{\Omega}_n \cap \{|z_1 - 1| < \delta\} \subset E_c \cap \{|z_1 - 1| < \delta\}.$$

□

La figure 2 décrit le procédé de remise à l'échelle.

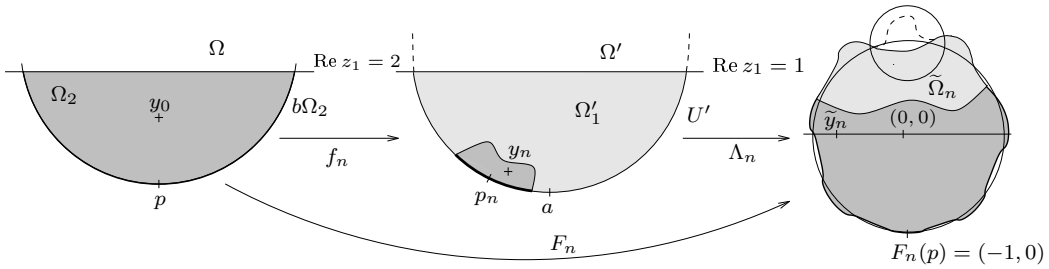

FIG. 2 – Situation après remise à l'échelle "au temps" n.

Observons que la normalité de la famille (F_n) résulte de la proposition 1.3 puisque celle-ci implique que $\widetilde{\Omega}_n$ est une suite de domaines uniformément bornés.

Corollaire 1.4. *La famille (F_n) est normale. Quitte à extraire, on peut supposer que F_n converge uniformément vers $F : \Omega_2 \longrightarrow \overline{B}$ sur les compacts de Ω_2. De plus l'alternative suivante a lieu : soit F est à valeurs dans B soit $F(\Omega_2)$ est un point de bB.*

Remarque 1.5. *L'image de U' par la remise à l'échelle en $q \simeq a$ et de paramètre $\varepsilon \ll 1$ est une hypersurface à bord de $\mathbb{C}^k$. Son bord est non vide et inclus dans un voisinage de $(1,0)$ dont le diamètre tend vers 0 avec ε.*

1.2 Réduction du problème.

La preuve du théorème 1 consiste à montrer que F_n converge vers un biholomorphisme d'un voisinage de p dans $\overline{\Omega}$ sur un voisinage de $(-1,0)$ dans $\overline{B}$. Nous réduisons ici ce problème à l'étude de la convergence des applications F_n et de leurs inverses G_n. Montrons tout d'abord comment définir ces inverses.

Lemme 1.6. *Soient D et D' deux domaines à bords lisses de $\mathbb{C}^k$. On suppose que D_1 et D'_1 sont connexes, non vides et que $[bD]_1$, $[bD']_1$ sont strictement convexes. Soit $F : D_1 \longrightarrow D'$ une application holomorphe propre relativement à $[bD]_1$ telle que $F([bD]_1) \subset \mathcal{SPC}(bD')$. Alors F est un difféomorphisme local sur D_1. De plus, si F est injective sur $[bD]_1$ et si $F([bD]_1) \supset [bD']_1$ alors $F(D_1) \supset D'_1$ et il existe un inverse à droite de F défini sur D'_1.*

Preuve : Notons tout d'abord que si F n'était pas un difféomorphisme local sur D_1 alors le lieu critique $\{\mathrm{Jac}\, F = 0\}$ serait un ensemble analytique dont l'intersection avec $[bD]_1 \subset \mathcal{SPC}(bD)$ serait vide [20]. La fonction $-\mathrm{Re}\, z_1$ violerait le principe du maximum sur cet ensemble analytique.

Comme $[bD]_1$ est formé de points de stricte convexité et F y est injective, $F_{|[bD]_1}$ est un difféomorphisme CR sur son image, qui contient $[bD']_1$. Il existe donc un difféomorphisme CR G de $[bD']_1$ dans $[bD]_1$ tel que $F \circ G = Id$. Celui-ci se prolonge en une application $\overline{G} : D'_1 \longrightarrow D$ holomorphe propre relativement à $[bD']_1$ dont l'image est incluse dans D_1 d'après le principe du maximum. L'application $F \circ \overline{G}$ est donc bien définie sur $D'_1 \cup [bD']_1$, et coïncide avec l'identité sur $[bD']_1$. Le principe d'unicité montre que $F \circ \overline{G} = Id_{D'_1}$. On en conclut que $F(D_1) \supset D'_1$ et que $\overline{G}$ est l'inverse de F sur D'_1. □

Ce lemme assure l'existence d'un inverse G_n à F_n naturellement défini sur un ensemble maximal du type $\widetilde{\Omega}_{n,t}$. La définition suivante met en relief les propriétés de ces applications que nous aurons à vérifier :

Définition 1.7. *Nous désignerons par $\mathcal{K}(F_n)$, $O(F_n)$, $\mathcal{K}(G_n)$, $O(G_n)$ les propriétés suivantes :*

- *$\mathcal{K}(F_n)$: F_n converge vers une application F et $F(\Omega_2) \subset B$,*
- *$O(F_n)$: il existe un réel λ strictement positif tel que $F_n(\Omega_1) \supset \widetilde{\Omega}_{n,\lambda}$ pour tout $n \in \mathbb{N}$,*
- *$\mathcal{K}(G_n)$: G_n converge vers une application G et $G(B_\lambda) \subset \Omega_2$,*
- *$O(G_n)$: il existe une fonction croissante continue $\lambda' :]0, \lambda] \to \mathbb{R}_*^+$ telle que $G_n(\widetilde{\Omega}_{n,t}) \supset \Omega_{\lambda'(t)}$ pour tout n.*

Nous sommes maintenant en mesure de formuler la réduction annoncée :

Proposition 1.8. *Si la suite de renormalisation $(F_n)_n$ et la suite des inverses $(G_n)_n$ vérifient les propriétés $\mathcal{K}(F_n)$, $O(F_n)$, $\mathcal{K}(G_n)$, $O(G_n)$ alors l'application limite $F : \Omega_2 \to B$ se prolonge en un CR-difféomorphisme entre un voisinage de p dans $[b\Omega]_1$ et un voisinage de $(-1, 0)$ dans bB.*

Preuve : D'après l'hypothèse $O(F_n)$ et le lemme 1.6, G_n est définie sur $\widetilde{\Omega}_{n,\lambda}$ et y vérifie :

$$F_n \circ G_n = Id. \tag{2}$$

On déduit immédiatement de (2) et de l'hypothèse $O(G_n)$ que $F_n(\Omega_{\lambda'(t')}) \subset \widetilde{\Omega}_{n,t'}$ pour $t' < t \leq \lambda$. Compte tenu de l'hypothèse $\mathcal{K}(F_n)$, cela donne à la limite : $F(\Omega_{\lambda'(t')}) \subset \overline{B}_{t'} \cap B \subset B_t$. On en déduit par continuité de λ' que :

$$F\big(\Omega_{\lambda'(t)}\big) \subset B_t \quad \text{pour } t \leq \lambda. \tag{3}$$

Il résulte également de (2) que $G_n \circ F_n = Id$ sur $G_n\big(\widetilde{\Omega}_{n,\lambda}\big)$ et donc sur $\Omega_{\lambda'(\lambda)}$ en vertu de l'hypothèse $O(G_n)$:

$$G_n \circ F_n = Id \quad \text{sur } \Omega_{\lambda'(t)} \text{ pour } t \leq \lambda. \tag{4}$$

L'hypothèse $\mathcal{K}(G_n)$ permet de passer à la limite dans (2) car F_n converge uniformément vers F sur les compacts de Ω_2. Il vient alors :

$$F \circ G = Id \quad \text{sur } B_t \text{ pour } t \leq \lambda. \tag{5}$$

L'inclusion (3) permet de passer à la limite dans (4) :

$$G \circ F = Id \text{ sur } \Omega_{\lambda'(t)} \text{ pour } t \leq \lambda. \tag{6}$$

L'identité (5) montre que F induit un biholomorphisme entre $G(B_\lambda)$ et B_λ :

$$F : G(B_\lambda) \xrightarrow{\sim} B_\lambda.$$

En outre, l'inclusion (3) et l'identité (6) montrent que $G(B_\lambda) \supset \Omega_{\lambda'(\lambda)}$. On est alors en mesure de montrer que F se prolonge en un difféomorphisme d'un voisinage de p dans $b\Omega$ sur un voisinage de $(-1,0)$ dans bB. Les frontières étant strictement pseudoconvexes en p et $(-1,0)$, un théorème de Bell [4] stipule que le prolongement différentiable est une conséquence du prolongement continu. Fixons $-1 < t \leq \lambda$ arbitrairement proche de -1. Pour n assez grand $x_n \in \Omega_{\lambda'(t)}$ et donc, compte tenu de (3), $F(x_n) \in B_t$. Ainsi $F(x_n)$ tend vers $(-1,0)$ lorsque x_n tend vers p et cela entraîne le prolongement hölder continu de F à $b\Omega$ autour de p [7]. □

Notre objectif est de vérifier les propriétés "$\mathcal{K}$" et "O" pour les suites F_n et G_n. Il s'agit de propriétés de compacité de suites d'applications respectivement à l'intérieur et au bord des domaines. Nous mettons au point dans la partie suivante des estimations sur les dérivées et les images des applications CR qui nous permettront de les établir.

2 Préliminaires techniques sur les applications CR.

Nous introduisons dans cette partie une distance qui présente l'avantage d'être plus adaptée à la géométrie des applications CR tout en définissant la même topologie que la distance euclidienne sur les hypersurfaces strictement pseudoconvexes.

Soit X une sous-variété lisse de $\mathbb{C}^k$, x et y deux points de X. On appelle chemin complexe entre x et y tout chemin $\gamma : [0,l] \longrightarrow X$ joignant x à y, $\mathcal{C}^1$ par morceaux, et tel que $\dot{\gamma}(t) \in T^{\mathbb{C}}_{\gamma(t)} S$ là où cela fait sens. On note $\ell(\gamma)$ la longueur euclidienne d'un tel chemin. Pour $x, y \in X$, on définit la distance CR entre x et y par :

$$d^{\mathrm{CR}}_X(x,y) := \inf\{\ell(\gamma),\ \gamma \text{ chemin complexe entre } x \text{ et } y\}.$$

En l'absence d'ambiguïté, on ne précisera pas la dépendance en X de d^{CR}. Les boules correspondantes de centre x et de rayon δ sont notées $B^{\mathrm{CR}}_X(x,\delta)$.

Les distances euclidienne et CR sont fortement reliées dans les hypersurfaces minimales (*i.e.* ne contenant pas de bout d'hypersurface holomorphe). En particulier, les grandes boules CR contiennent de grandes boules euclidiennes. Pour les hypersurfaces strictement pseudoconvexes, cette propriété est un cas particulier très simple du théorème 4 de [17].

Proposition 2.1. *La topologie associée à la distance CR coïncide avec la topologie usuelle sur les hypersurfaces strictement pseudoconvexes lisses de $\mathbb{C}^k$. En particulier, tout ouvert borné d'une telle hypersurface est d^{CR}-borné.*

Le résultat principal de cette partie est une version quantifiée du principe suivant :

"Une application CR est une dilatation pour la distance CR."

Compte tenu de la proposition 2.1, ce principe implique que les images des applications CR contiennent naturellement de "grands" ouverts euclidiens. Il est régi par le lemme de Hopf, qui permet de minorer les dérivées des applications holomorphes propres.

Lemme 2.2 (Hopf). *Soit D un domaine de $\mathbb{C}^k$ et $\chi \in \mathcal{C}^1(\overline{D})$ une fonction p.s.h négative sur D et nulle en $q \in bD$. Soit ε tel que $B_\varepsilon(q) \subset D$ et $M := \min\{|\chi(z)|, z \in B_\varepsilon^+(q)\}$. Alors $\chi(q_t) \leq -\dfrac{Mt}{8\varepsilon}$ pour $t \leq \varepsilon$ et donc $\|\vec{\nabla}\chi(q)\| \geq \dfrac{M}{8\varepsilon}$.*

Preuve : Soit $\mathbb{D}_\varepsilon$ le paramétrage unitaire du disque complexe de centre q_ε passant par q, qui envoie q_ε sur 0 et q sur $-\varepsilon$. Dans ce paramétrage, $B_\varepsilon^+(q) \cap \mathbb{D}_\varepsilon$ correspond à $\mathbb{D}_\varepsilon \cap \{\mathrm{Re}\, z > 0\}$. La restriction $\widetilde{\chi}$ de χ à $\mathbb{D}_\varepsilon$ est une fonction sous-harmonique négative sur $\mathbb{D}_\varepsilon$ vérifiant $\chi(q_t) = \widetilde{\chi}(-\varepsilon + t)$, $\widetilde{\chi}(\varepsilon e^{i\theta}) \leq -M$ pour $\theta \in [-\frac{\pi}{2}, \frac{\pi}{2}]$ et $\widetilde{\chi}(-\varepsilon) = 0$. Un calcul facile sur le noyau de Poisson donne donc :

$$\begin{aligned}\chi(q_t) = \widetilde{\chi}(-\varepsilon + t) \leq & \quad \frac{1}{2\pi}\int_{-\pi}^{\pi} \frac{\varepsilon^2 - (\varepsilon - t)^2}{|-\varepsilon + t - \varepsilon e^{i\theta}|^2}\widetilde{\chi}(\varepsilon e^{i\theta})d\theta \\ \leq & \quad -\frac{M}{2\pi}\int_{-\frac{\pi}{2}}^{\frac{\pi}{2}} \frac{\varepsilon^2 - (\varepsilon - t)^2}{|-\varepsilon + t - \varepsilon e^{i\theta}|^2}\, d\theta \leq -\frac{M}{2}\frac{t(2\varepsilon - t)}{4\varepsilon^2} \leq -\frac{Mt}{8\varepsilon}.\end{aligned}$$

□

Nous combinons à présent le lemme de Hopf à une propriété de transfert d'estimations des dérivées normales aux dérivées tangentielles complexes pour obtenir la version du principe énoncé ci-dessus qui nous sera utile.

Lemme 2.3. *Soient Ω, $\widetilde{\Omega}$ des domaines de $\mathbb{C}^k$ à bords lisses et U un ouvert relativement compact dans $\mathcal{SPC}(b\Omega)$. Soit W un ouvert de $\mathcal{SPC}(b\widetilde{\Omega})$ tel que Λ_x est positive sur $\widetilde{\Omega}$ pour tout $x \in W$. On note κ_1 et κ_2 la plus petite et la plus grande des valeurs propres de la forme de Levi sur U et W. Soit $p \in U$ et ε, τ deux réels strictement positifs tels que $B^{CR}(p,\tau) \Subset U$ et $B_\varepsilon(q) \subset \Omega$ pour tout $q \in B^{CR}(p,\tau)$.*

Soit $F : \Omega \longrightarrow \widetilde{\Omega}$ une application holomorphe propre relativement à U telle que $F(p) \in W$. On définit

$$M := \min\big\{|\Lambda_x(z)|,\ x \in W,\ z \in F\big(\bigcup_{q \in B^{CR}(p,\tau)} B_\varepsilon^+(q)\big)\big\}.$$

Alors

$$F\big(B^{CR}(p,\tau)\big) \supset B_W^{CR}\left(F(p), \left[\frac{\kappa_1}{8\kappa_2}\frac{M}{\varepsilon}\right]^{\frac{1}{2}}\tau\right).$$

La preuve comporte deux étapes. Dans la première, le lemme de Hopf est utilisé pour minorer les dérivées tangentielles complexes de F sur la préimage de W. La seconde étape consiste à intégrer ces estimées.

Preuve : *Estimations des dérivées de F.* Soit q un point de U tel que $F(q) \in W$. Montrons :

$$\|F'(q)u\| \geq \left[\frac{\kappa_1}{8\kappa_2}\frac{M}{\varepsilon}\right]^{1/2}\|u\|, \qquad \forall u \in T_q^{\mathbb{C}} b\Omega. \tag{7}$$

Le lemme 2.2 appliqué à la fonction $-\Lambda_{F(q)} \circ F$ fournit l'estimée $\| \vec{\nabla}\, [\, \Lambda_{F(q)} \circ F](q) \,\| \geq \frac{M}{8\varepsilon}$. Comme $\vec{\nabla}\Lambda_{F(q)}\big(F(q)\big) = \vec{N}(F(q))$, on a :

$$n_q(F) := \langle F'(q)\vec{N}(q), \vec{N}(F(q))\rangle = d\Lambda_{F(q)}[F'(q)\vec{N}(q)] = \|\vec{\nabla}[\Lambda_{F(q)} \circ F](q)\| \geq \frac{M}{8\varepsilon}. \tag{8}$$

Notons $\mathcal{L}(\phi, a, u)$ la forme de Levi en a d'une fonction ϕ, appliquée à un vecteur u.
Comme W est lisse, il existe une fonction définissante ψ de $\widetilde{\Omega}$ au voisinage de $F(q)$, qu'on

peut supposer de gradient normé en $F(q)$: $\vec{\nabla}\psi(F(q)) = \vec{N}(F(q))$. Comme pour (8), on voit qu'alors $\|\vec{\nabla}\psi \circ F(q)\| = n_q(F)$. De plus, $\psi \circ F$ est une fonction définissante en q, au voisinage duquel $b\Omega$ est strictement pseudoconvexe. Pour tout vecteur $u \in T^{\mathbb{C}}_q b\Omega$, on a donc compte tenu de (7) :

$$\mathcal{L}(\psi \circ F, q, u) \geq \kappa_1 \|\vec{\nabla}\left[\psi \circ F\right](q)\| \|u\|^2 = \kappa_1 n_q(F)\|u\|^2 \geq \frac{\kappa_1 M}{8\varepsilon}\|u\|^2. \tag{9}$$

Par fonctorialité de la forme de Lévi et définition de κ_2 il vient :

$$\mathcal{L}(\chi \circ F, q, u) = \mathcal{L}(\chi, F(q), F'(q)u) \leq \kappa_2 \|F'(q)u\|^2. \tag{10}$$

Les inégalités (9) et (10) impliquent (7).

Conclusion. Nous intégrons à présent l'inégalité (7). Comme $F(p)$ appartient à W, il suffit de vérifier que

$$bF\big(B^{\mathrm{CR}}(p,\tau)\big) \cap B^{\mathrm{CR}}_{\widetilde{W}}\left(F(p), \left[\frac{\kappa_1}{8\kappa_2}\frac{M}{\varepsilon}\right]^{1/2}\tau\right) = \emptyset,$$

ou encore que pour tout point x de $bF(B^{\mathrm{CR}}(p,\tau)) \cap W$,

$$d^{\mathrm{CR}}_W(F(p), x) \geq \left[\frac{\kappa_1}{8\kappa_2}\frac{M}{\varepsilon}\right]^{\frac{1}{2}}\tau. \tag{11}$$

Soit x un tel point et $\widetilde{\gamma}$ un chemin complexe de W entre $F(p)$ et x paramétré par la longueur d'arc. Comme F est un difféomorphisme CR local en tout point de $B^{\mathrm{CR}}(p,\tau)$, on peut relever la composante connexe de $F(p)$ dans $\widetilde{\gamma} \cap F(B^{\mathrm{CR}}(p,\tau))$ en un chemin complexe γ tant que γ ne sort pas de $B^{\mathrm{CR}}(p,\tau)$. Précisément, il existe $l \leq \ell(\widetilde{\gamma})$ et $\gamma : [0,l] \longrightarrow \overline{B^{\mathrm{CR}}(p,\tau)}$ joignant p à $bB^{\mathrm{CR}}(p,\tau)$ et tel que $F \circ \gamma(t) = \widetilde{\gamma}(t)$ pour tout $t \in [0,l]$. Comme $\gamma(t)$ appartient à U et $F(\gamma(t))$ à W pour tout t, l'estimée (7) obtenue dans l'étape précédente montre que :

$$\|F'(\gamma(t))u\| \geq \left[\frac{\kappa_1}{\kappa_2}\frac{M}{8\varepsilon}\right]^{\frac{1}{2}}\|u\| \quad \forall t \in [0,l],\ \forall u \in T^{\mathbb{C}}_{\gamma(t)} b\Omega.$$

Ainsi,

$$\ell(\widetilde{\gamma}) \geq l = \int_0^l \|\dot{\widetilde{\gamma}}(t)\|dt = \int_0^l \|F'(\gamma(t))\dot{\gamma}(t)\|dt \geq \left[\frac{\kappa_1}{\kappa_2}\frac{M}{8\varepsilon}\right]^{\frac{1}{2}} \int_0^l \|\dot{\gamma}(t)\|dt \geq \left[\frac{\kappa_1}{\kappa_2}\frac{M}{8\varepsilon}\right]^{\frac{1}{2}} \ell(\gamma).$$

Puisque γ joint p à $bB^{\mathrm{CR}}(p,\tau)$ et que $\widetilde{\gamma}$ est un chemin complexe quelconque liant $F(p)$ à x, on tire (11). □

Le lemme 2.3 permet donc d'estimer la taille de l'image d'une boule $B^{\mathrm{CR}}(p,\tau)$ par une application holomorphe propre en fonction de son comportement sur

$$A_\varepsilon(p,\tau) := \bigcup_{q \in B^{\mathrm{CR}}(p,\tau)} B^+_\varepsilon(q).$$

La proposition suivante détaille les situations dans lesquelles nous allons appliquer ce lemme.

Proposition 2.4. *Soient Ω, $\widetilde{\Omega}$ des domaines de $\mathbb{C}^k$. soient U et W des ouverts relativement compacts dans $\mathcal{SPC}(b\Omega)$ et $\mathcal{SPC}(b\widetilde{\Omega})$. On suppose que $\Lambda_x \geq 0$ sur $\widetilde{\Omega}$ pour tout $x \in W$.*

Fixons des points $p \in U$, $a \in W$ et des réels $\varepsilon_0, \tau > 0$ tels que $B^{CR}(p,\tau) \Subset U$ et $A_{\varepsilon_0}(p,\tau) \subset \Omega$.

Soit $\mathcal{F}_{p,a}$ la famille des applications holomorphes $F : \Omega \longrightarrow \widetilde{\Omega}$ propres relativement à U vérifiant $F(p) = a$.

1. *A tout compact K de $\widetilde{\Omega}$ est associée une constante $c(K) > 0$ telle que :*

$$\forall F \in \mathcal{F}_{p,a} \ : \ \big(F(p) \in W \ \textit{et}\ F(A_{\varepsilon_0}(p,\tau)) \subset K\big) \Longrightarrow F(B^{CR}(p,\tau)) \supset B_W^{CR}(F(p), c\tau).$$

2. *Fixons $\lambda > 0$ et $0 < \eta < \lambda$. Il existe une constante $c(\eta) > 0$ telle que :*

$$\forall \varepsilon \leq \varepsilon_0, \ \ \forall F \in \mathcal{F}_{p,a} \ :$$
$$F(A_\varepsilon(p,\tau)) \subset \{\Lambda_a \geq \lambda\} \Longrightarrow F(B^{CR}(p,\tau)) \supset B_W^{CR}\big(a, \tfrac{c(\eta)\tau}{\sqrt{\varepsilon}}\big) \cap \{\Lambda_a \leq \lambda - \eta\}.$$

3. *Soit $y \in W \backslash \{a\}$ et $\eta < d(a,y)$. Il existe une constante $c(\eta) > 0$ telle que :*

$$\forall \varepsilon \leq \varepsilon_0, \ \ \forall F \in \mathcal{F}_{p,a} \ :$$
$$F(A_\varepsilon(p,\tau)) \subset B(y,\eta) \Longrightarrow F(B^{CR}(p,\tau)) \supset B_W^{CR}\big(a, \tfrac{c(\eta)\tau}{\sqrt{\varepsilon}}\big) \backslash B(y, 2\eta).$$

De plus, les constantes $c(K)$ et $c(\eta)$ ne dépendent que des valeurs de la forme de Lévi sur U et W. Les points 1, 2 et 3 restent vrais pour des constantes moitié lorsque $\Omega, \widetilde{\Omega}$ sont remplacés par de petites perturbations au sens de Hausdorff pourvu que U et W soient eux faiblement perturbés au sens $\mathcal{C}^2$.

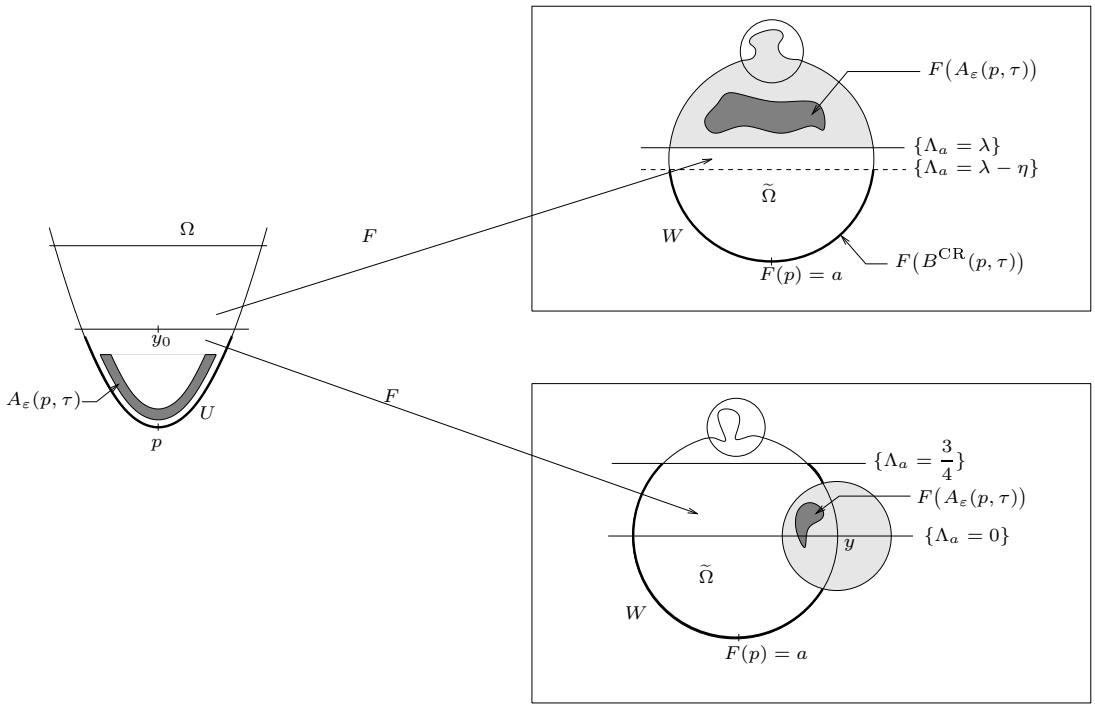

FIG. 3 – Situation 2 (en haut), situation 3 (en bas)

3 Démonstration du théorème 1.

En utilisant de façon systématique la proposition 2.4, nous allons vérifier les propriétés $\mathcal{K}(F_n)$, $O(F_n)$, $\mathcal{K}(G_n)$ et $O(G_n)$. Ceci établira le théorème 1 *via* la proposition 1.8. Toute la preuve du théorème 1 repose en fait sur l'injectivité de F_n au bord et les choix effectués lors de la renormalisation.

Rappelons que $\widetilde{\Omega}_n$ converge vers B au sens $\mathcal{C}^2$ sur les compacts de $\mathbb{C}^2 \backslash \{(1,0)\}$ (propriété 1.3). Ainsi, pour $n \geq n_0$ suffisamment grand, $[b\widetilde{\Omega}_n]_{3/4}$ est strictement pseudoconvexe et Λ_x

est positive sur $\widetilde{\Omega}_n$ pour $x \in [b\widetilde{\Omega}_n]_{3/4}$. Le domaine Ω étant quant à lui fixé et strictement convexe, la proposition 2.4 s'appliquera donc avec $\{U, W\} := \{[b\Omega]_1, [b\widetilde{\Omega}_n]_{3/4}\}$.

3.1 Preuve de "$\mathcal{K} \Longrightarrow O$".

$\underline{\mathcal{K}(F_n) \Longrightarrow O(F_n)}$: Appliquons le point 1 de la proposition 2.4 à F_n en prenant $U := b\Omega_1$ et $W_n := [b\widetilde{\Omega}_n]_{3/4}$. Comme $F_n(p) = a$ et qu'en vertu de l'hypothèse $\mathcal{K}(F_n)$ $F_n(A_{\varepsilon_0}(p,\tau))$ tend vers $F(A_{\varepsilon_0}(p,\tau)) \Subset B$, on obtient :

$$F_n\big(B^{\mathrm{CR}}(p,\tau)\big) \supset B^{\mathrm{CR}}_{W_n}(a, c\tau).$$

Compte tenu du lemme 1.6 il suffit alors de vérifier qu'il existe $\lambda > 0$ tel que $B^{\mathrm{CR}}_{W_n}(a, c\tau) \supset [b\widetilde{\Omega}_n]_\lambda$ pour tout $n \in \mathbb{N}$. Or ceci résulte immédiatement du fait que W_n converge au sens $\mathcal{C}^2$ vers $[bB]_{3/4}$. □

Lorsque $O(F_n)$ est vérifiée, le lemme 1.6 assure l'existence d'un inverse à droite G_n pour F_n défini sur $\widetilde{\Omega}_{n,\lambda}$. Cette suite d'applications est normale car elle prend ses valeurs dans Ω_1, on peut donc la supposer convergente vers une application $G : B_\lambda \longrightarrow \overline{\Omega}_1$. Comme ci-dessus, nous allons montrer que si G est à valeurs dans Ω_2 alors $O(G_n)$ est satisfaite.

$\underline{\mathcal{K}(G_n) \Longrightarrow O(G_n)}$: Appliquons le point 1 de la proposition 2.4 à G_n en prenant $U_n := [b\widetilde{\Omega}_n]_\lambda$ et $W := [b\Omega]_2$. Comme $G_n(p) = a$ et qu'en vertu de l'hypothèse $\mathcal{K}(G_n)$ $G_n(A_{\varepsilon_0}(a,\tau))$ tend vers $G(A_{\varepsilon_0}(p,\tau)) \Subset \Omega$, on obtient :

$$G_n\big(B^{\mathrm{CR}}_{U_n}(a,t)\big) \supset B^{\mathrm{CR}}_{W}(p, ct) \quad \forall t \leq \tau. \tag{12}$$

Par ailleurs, la distance CR majorant la distance euclidienne, on a $B^{\mathrm{CR}}_{U_n}(a,t) \subset [b\widetilde{\Omega}_n]_t$. De plus, $B^{\mathrm{CR}}(p,t) \supset [b\Omega]_{At^2}$ où A désigne le minimum des valeurs propres de la forme de Levi de $[b\Omega]_1$ (il s'agit d'un cas particulier très simple du théorème 4 de [17]). La propriété $O(G_n)$ découle alors de (12) et du lemme 1.6. □

En remplaçant p par un point arbitraire $q \in [b\Omega]_1$ dans la preuve de $\mathcal{K}(F_n) \Longrightarrow O(F_n)$, on obtient une propriété légèrement plus forte que $O(F_n)$. Celle-ci nous sera utile pour établir $\mathcal{K}(G_n)$.

Lemme 3.1. *Si $\mathcal{K}(F_n)$ est vraie alors il existe des constantes $c, \tau > 0$ telles que pour tout $q \in [b\Omega]_1$ et n suffisamment grand,*

$$F_n(q) \in [b\widetilde{\Omega}_n]_{3/4} \Longrightarrow F_n\big(B^{CR}(q,\tau)\big) \supset B^{CR}_{[b\widetilde{\Omega}_n]_{3/4}}(F_n(q), c\tau).$$

3.2 Preuve de $\mathcal{K}(F_n)$.

En raison de l'alternative régissant la convergence de F_n (corollaire 1.4), il suffit d'établir que dans la situation décrite dans la première partie, $\widetilde{y}_n = F_n(y_0)$ reste dans un compact de B. Raisonnons par l'absurde, supposons que $\widetilde{y}_n$ tende vers $y_\infty \in bB$. La suite (F_n) converge alors localement uniformément vers y_∞ (corollaire 1.4). A $\varepsilon > 0$ correspond donc un entier n_ε tel que $F_{n_\varepsilon}\big(A_\varepsilon(p,\tau)\big) \subset B(y_\infty, 1/4)$. En appliquant le point 3 de la proposition 2.4 à F_{n_ε} avec $U := [b\Omega]_1$, $W_{n_\varepsilon} := [b\widetilde{\Omega}_{n_\varepsilon}]_{3/4}$, $\eta = 1/4$ et $(a, y) := (a, y_\infty)$, on obtient :

$$F_{n_\varepsilon}([b\Omega]_1) \supset B^{\mathrm{CR}}_{W_{n_\varepsilon}}\left(a, \frac{c(\eta)\tau}{\sqrt{\varepsilon}}\right) \setminus B(y_\infty, \frac{1}{2}). \tag{13}$$

Comme les $[b\widetilde{\Omega}_n]_{3/4}$ tendent vers $[bB]_{3/4}$ au sens $\mathcal{C}^2$, leurs diamètres CR sont uniformément borné. Il s'ensuit que pour ε suffisamment petit, (13) donne :

$$F_{n_\varepsilon}([b\Omega]_1) \supset [b\widetilde{\Omega}_{n_\varepsilon}]_{3/4} \setminus B(y_\infty, \frac{1}{2}). \tag{14}$$

Dorénavant, ε est fixé et nous noterons n au lieu de n_ε. L'application $F_{n|[b\Omega]_2}$ étant un difféomorphisme sur son image, $F_n([b\Omega]_1)$ est contractile. Alors (14) montre que $F_n([b\Omega]_1)$ doit contenir $[b\widetilde{\Omega}_n]_{3/4}$. Il vient donc :

$$b\big[F_n([b\Omega]_1)\big] = F_n(b\Omega \cap \{\operatorname{Re} z_1 = 1\}) \subset [b\widetilde{\Omega}_n]^+_{3/4}. \tag{15}$$

Cette inclusion conduit à une contradiction car le principe du maximum appliqué à la fonction $-\operatorname{Re} z_1 \circ F_n$ montre que $F_n(\Omega \cap \{\operatorname{Re} z_1 = 1\}) \subset \widetilde{\Omega}^+_{n,3/4}$ alors que par construction $F_n(y_0) \in \{\operatorname{Re} z_1 = 0\}$. □

3.3 Preuve de $\mathcal{K}(G_n)$.

Définissons $\lambda_n := \sup\{t \in \mathbb{R} \mid F_n(\Omega_1) \supset \widetilde{\Omega}_{n,t}\}$. Comme F est un difféomorphisme local sur Ω_1 (lemme 1.6), le bord de $F_n(\Omega_1)$ dans $\widetilde{\Omega}_n$ est inclus dans $F_n(\Omega \cap \{\operatorname{Re} z_1 = 1\})$. Par définition de λ_n,

$$\inf\big\{\operatorname{Re} z_1 \circ F_n(x),\ x \in \Omega \cap \{\operatorname{Re} z_1 = 1\}\big\} = \lambda_n.$$

Le principe du maximum appliqué à $-\operatorname{Re} z_1 \circ F_n$ sur $\Omega \cap \{\operatorname{Re} z_1 = 1\}$ montre donc :

$$\exists z'_n \in \{\operatorname{Re} z_1 = 1\} \cap b\Omega, \qquad F_n(z'_n) \in \{\operatorname{Re} z_1 \le \lambda_n\}. \tag{16}$$

Puisque $\mathcal{K}(F_n)$ et donc $O(F_n)$ sont satisfaites, les valeurs d'adhérence de λ_n sont supérieures à $\lambda > -1$. Quitte à extraire, la suite des applications G_n converge donc vers $G : B_{\lambda_\infty} \longrightarrow \overline{\Omega_1}$, où λ_∞ désigne une valeur d'adhérence de $\lambda_n \ge \lambda$.

Lorsque $\lambda_\infty > 0$, la suite $\widetilde{y}_n$ est compacte dans B_{λ_∞} d'après $\mathcal{K}(F_n)$. De plus $G_n(\widetilde{y}_n) = y_0 \in \Omega_2$. L'application limite G est donc à valeurs dans Ω_2 : $\mathcal{K}(G_n)$ est vérifiée.

Lorsque $\lambda_\infty \le 0$, nous prouvons ci-dessous qu'il existe une suite (x_n) relativement compacte dans Ω_1 et une constante $\eta_0 > 0$ telles que $F_n(x_n) \in \widetilde{\Omega}_{n,\lambda_\infty - \eta_0}$ pour n assez grand. Alors $\{F_n(x_n)\} \Subset B_{\lambda_\infty}$ d'après $\mathcal{K}(F_n)$. On conclut cette fois en utilisant $\big\{G_n[F_n(x_n)]\big\} = \big\{x_n\big\} \Subset \Omega_2$.

Fixons $\tau > 0$ tel que $B^{\mathrm{CR}}(p,\tau) \Subset [b\Omega]_1$. Il suffit pour établir l'existence de (x_n) de voir qu'il existe $\varepsilon_0, \eta_0 > 0$ tels que :

$$F_n(A_{\varepsilon_0}(p,\tau)) \cap \widetilde{\Omega}_{n,\lambda_n - \eta_0} \neq \emptyset \quad \forall n \gg 1.$$

Raisonnons par l'absurde : supposons que pour tout $\varepsilon, \eta > 0$, il existe un entier n_ε tel que $F_{n_\varepsilon}(A_\varepsilon(p,\tau)) \subset \widetilde{\Omega}^+_{n_\varepsilon, \lambda_{n_\varepsilon} - \eta}$. En appliquant le point 2 de la proposition 2.4 à F_{n_ε} avec $U := [b\Omega]_1$, $W := [b\widetilde{\Omega}_n]_{1/2}$ et $(\lambda, \eta) := (\lambda_{n_\varepsilon}, \eta)$ on obtient :

$$F_{n_\varepsilon}\big(B^{\mathrm{CR}}(p,\tau/2)\big) \supset B^{\mathrm{CR}}_{W_{n_\varepsilon}}\left(a, \frac{c(\eta)\tau}{2\sqrt{\varepsilon}}\right) \cap \{\operatorname{Re} z_1 \le \lambda_{n_\varepsilon} - \eta\}. \tag{17}$$

Comme les $[b\widetilde{\Omega}_n]_{3/4}$ tendent vers $[bB]_{3/4}$ au sens $\mathcal{C}^2$, leurs diamètres CR sont uniformément borné. Il s'ensuit que pour ε suffisamment petit, (17) donne :

$$F_{n_\varepsilon}\big(B^{\mathrm{CR}}(p,\tau/2)\big) \supset [b\widetilde{\Omega}_{n_\varepsilon}]_{\lambda_{n_\varepsilon} - \eta}.$$

Ceci étant valable pour η arbitrairement petit, on obtient après extraction éventuelle :

$$d^{\mathrm{CR}}\left(bF_n\big(B^{\mathrm{CR}}(p,\tau/2)\big),[b\widetilde{\Omega}_n]^+_{\lambda_n}\right)\underset{n\to\infty}{\longrightarrow}0. \tag{18}$$

De plus, on voit à l'aide du lemme 3.1 que la distance CR entre les points de $bF_n(B^{\mathrm{CR}}(p,\tau))$ et les points de $F_n(B^{\mathrm{CR}}(p,\tau/2))$ est bornée inférieurement par $c\tau/2$. Il vient donc de (18) que $F_n(B^{\mathrm{CR}}(p,\tau))$ contient $[b\widetilde{\Omega}_n]_{\lambda_n}$ pour n assez grand. Avec (16), ceci contredit l'injectivité de $F_{n|U}$. □

4 Applications.

Cette partie comporte trois applications du théorème 1. La première est un résultat de Wong-Rosay local, la deuxième concerne l'étude de la dynamique des applications holomorphes propres et la dernière un résultat bien connu de la géométrie CR.

4.1 Une version locale du théorème de Wong-Rosay.

Théorème 1'. *Soient Ω, Ω' deux domaines de $\mathbb{C}^k$ pseudoconvexes à bords lisses et U un ouvert de $\mathcal{SPC}(b\Omega)$. Soit $(f_n)_n$ une suite d'injections holomorphes de Ω dans Ω' propres relativement à U. S'il existe un point $y_0\in\Omega$ dont l'orbite $(f_n(y_0))_n$ accumule un point $y\in\mathcal{SPC}(b\Omega')$, alors U est localement sphérique.*

Remarque 4.1. *Si les f_n sont des surjections alors il s'agit du théorème classique.*

Par souci de lisibilité, nous appellerons dans cette preuve ordonnée d'un point $z=(z_1,z')\in\mathbb{C}^k$ la partie réelle de z_1.

Preuve : On peut bien entendu supposer que U est connexe. Si f_n converge localement uniformément sur U vers y alors le théorème 1 s'applique et assure que U est sphérique. Sinon il existe $p\in U$ et des points $p_n\in U$ qui tendent vers p tels que les $f_n(p_n)$ restent loins de y (quitte à extraire). La sphéricité de U découlera alors immédiatement des assertions suivantes :

$$\text{la composante connexe } C_y \text{ de } y \text{ dans } \mathcal{SPC}(b\Omega') \text{ est sphérique,} \tag{19}$$

$$f_n : U\longrightarrow C_y \text{ est un difféomorphisme CR.} \tag{20}$$

Une estimation classique de la métrique de Kobayashi au voisinage de y [15] montre que f_n converge uniformément vers y sur les compacts de Ω. Quitte à restreindre Ω et à effectuer un changement de variables, on peut donc supposer que $p=y=0$, $T_pb\Omega=T_yb\Omega'=\{\mathrm{Re}\,z_1=0\}$, $U=b\Omega_1$, $y_0=(1/2,0)$ et $f_n(y_0)\in\Omega'_1$. On notera aussi ε_n l'ordonnée du point p_n.

Comme $y\in\mathcal{SPC}(b\Omega')$, il existe une fonction $p.s.h$ χ définie sur Ω', continue sur $\overline{\Omega}'$ et présentant un maximum global strict en y. Le principe du maximum appliqué à $\chi\circ f_n$ sur $\Omega_1\cap\{\mathrm{Re}\,z_1=\varepsilon_n\}$ montre qu'il existe des points p'_n de mêmes ordonnées que p_n tels que $f_n(p'_n)$ tend vers y. Or un argument dû à Fornaess [13] assure que les restrictions des f_n à U sont des difféomorphismes CR et que $f_n(U)\subset\mathcal{SPC}(b\Omega')$. Ceci établit donc (20). De plus, Quitte à modifier p_n en le déplaçant le long d'un chemin d'ordonnée constante le joignant à p'_n, on peut supposer que $f_n(p_n)\in b\Omega'\cap\{\mathrm{Re}\,z_1=\lambda\}$ et converge vers un point a.

Pour prouver que C_y est sphérique, il convient de noter que les fonctions pics de classe $\mathcal{C}^1$ que possèdent les points de C_y peuvent remplacer les fonctions Λ_q dans le lemme 2.3 et donc dans le point 3 de la proposition 2.4. Un argument identique à celui utilisé pour

prouver $\mathcal{K}(F_n)$ avec (p_n, a, y_0, y) en place de (p, a, y_0, y_∞) montre que $f_n(b\Omega_\delta)$ contient $C_{y,\varepsilon} := \{p \in C_y \mid d(p, bC_y) > \varepsilon\}$ pour δ, ε arbitrairement petits pourvu que n soit assez grand. Ceci signifie que la suite des inverses g_n des difféomorphismes CR $f_{n|b\Omega_1}$ converge uniformément vers p sur $C_{y,\varepsilon}$. D'après le théorème 1, $C_{y,\varepsilon}$ est sphérique. On en déduit la sphéricité de C_y, c'est-à-dire (19), en faisant tendre ε vers 0. □

4.2 Dynamique des applications holomorphes propres.

Proposition 4.2. *Soit Ω un domaine convexe borné de $\mathbb{C}^k$ à bord lisse et f une auto-application holomorphe propre de Ω. S'il existe un point $y_0 \in \Omega$ dont l'orbite $\{f^n(y_0)\}$ accumule un point y de l'ensemble de stricte convexité $\mathcal{SC}(b\Omega)$ alors $\mathcal{SC}(b\Omega)$ est sphérique.*

Preuve : Les théorèmes classiques de prolongement au bord des applications holomorphes propres s'appliquent pour les domaines convexes à bords lisses : f se prolonge en une application CR de $b\Omega$ dans lui-même [9] et $f : \mathcal{SC}(b\Omega) \to \mathcal{SC}(b\Omega)$ est un difféomorphisme local. De plus, il a été prouvé dans [18] que f^n converge localement uniformément vers y sur $\mathcal{SC}(b\Omega)$. Il suffit donc de voir que tout point $p \in \mathcal{SC}(b\Omega)$ possède un voisinage sur lequel les f^n sont toutes injectives pour que le théorème 1 s'applique et donne le résultat souhaité.

Soit V un voisinage de y dans C_y sur lequel f est injective et U_0 un voisinage de p relativement compact dans C_y. Il existe un entier n_0 tel que $f^n(U_0) \subset V$ pour tout $n \geq n_0$. Soit U un voisinage de p dans U_0 sur lequel $f, f^2, \ldots, f^{n_0}$ sont injectives. Montrons par récurrence que f^n est injective sur U pour tout n. Soient $x, x' \in U$ tels que $f^n(x) = f^n(x')$ avec $n > n_0$. Alors $f(f^{n-1}(x)) = f(f^{n-1}(x'))$ et $f^{n-1}(x), f^{n-1}(x') \in V$. Comme f est injective sur V, on en déduit que $f^{n-1}(x) = f^{n-1}(x')$. En itérant ce procédé on obtient $f^{n_0}(x) = f^{n_0}(x')$ donc $x = x'$. □

La proposition ci-dessus est valable pour d'autres types de domaines, dans lesquels on peut assurer que l'itération de f contracte $\mathcal{SPC}(b\Omega)$ vers a [18]. En développant les idées du paragraphe précédent, on peut établir un résultat plus général. La technicité de sa preuve nous incite toutefois à ne pas la présenter ici.

Théorème 4.3. *Soit Ω un domaine pseudoconvexe de $\mathbb{C}^k$ à bord lisse et f une auto-application holomorphe propre de Ω. S'il existe un point $y_0 \in \Omega$ dont l'orbite accumule un point de stricte pseudoconvexité alors $\mathcal{SPC}(b\Omega)$ est localement sphérique.*

4.3 Etude métrique des hypersurfaces strictement pseudoconvexes non-sphériques.

Nous redémontrons ici un résultat bien connu de la géométrie CR (voir [23, 11, 5, 16]) concernant le groupe d'isotropie d'un point a d'une hypersurface strictement pseudo-convexe non-sphérique de $\mathbb{C}^k$, c'est à dire le groupe des germes de difféomorphismes CR de (M, a). Ce groupe occupe une place importante dans la classification CR des hypersurfaces puisqu'il joue un rôle de stabilisateur. Le théorème ci-dessous a deux conséquences directes : les hypersurfaces non-sphériques peuvent être pourvues d'une métrique CR-invariante et d'un champs de vecteur CR-invariant transverse à la distribution complexe.

Théorème 4.4. *Soit (M, a) un germe d'hypersurface strictement pseudoconvexe non-sphérique. Soit G le sous-groupe de $GL(T_aM)$ défini par :*

$$G := \{f'(a), \text{ où } f : (M, a) \longrightarrow (M, a) \text{ est un germe de difféomorphisme CR}\}$$

Il existe un changement de base CR de T_aM, i.e. $P \in GL(T_aM) \cap GL_{\mathbb{C}}(T_a^{\mathbb{C}}M)$ tel que :

$$G = P^{-1}\left\{\begin{pmatrix} 1 & 0 \\ 0 & A \end{pmatrix},\ A \in U(k-1)\right\}P.$$

On dit que le groupe structural de la géométrie CR des hypersurfaces strictement pseudo-convexe non-sphériques de $\mathbb{C}^k$ est réductible à $U(k-1)$.

Preuve : Nous noterons ici $\mathcal{L}(a,u)$ la forme de Levi de M en a appliquée à un vecteur $u \in T_a^{\mathbb{C}}b\Omega$ et κ_-, κ_+ ses valeurs propres minimales et maximales (si u désigne un champ de vecteur holomorphe au voisinage de a prolongeant u, $\mathcal{L}(a,u) = \langle [u,\bar{u}](a), i\vec{N}(a)\rangle$). Soit f un germe de difféomorphisme CR de (M,a). En accord avec la partie 2, nous notons $n_f(a) := \langle f'(a)i\vec{N}(a), i\vec{N}(a)\rangle$ ($n_f(a)$ est évidemment positif). Un calcul simple montre :

$$\mathcal{L}(a, f'(a)u) = n_f(a)\mathcal{L}(a,u) \quad \forall u \in T_a^{\mathbb{C}}M.$$

Si $n_f(a) < 1$, il existe un entier n_0 tel que $n_f(a)^{n_0}\kappa_+\kappa_-^{-1} < 1$. Le germe de difféomorphisme f^{n_0} vérifie alors :

$$\begin{aligned} &\langle f^{n_0\prime}(a)i\vec{N}(a), i\vec{N}(a)\rangle = n_f(a)^{n_0} < 1, \\ &\|f^{n_0\prime}(a)u\|^2 \le \kappa_-^{-1}\mathcal{L}(a, f^{n_0\prime}(a)u) \le n_f(a)^{n_0}\kappa_+\kappa_-^{-1}\|u\|^2 < \|u\|^2, \end{aligned}$$

si bien que f^{n_0} est un germe de difféomorphisme contractant de (M,a). L'hypothèse de non-sphéricité de M assure *via* le théorème 1 de l'impossibilité de cette situation ainsi évidemment de celle où $n_f(a) > 1$. On conclut donc que $n_f(a) = 1$. Ceci a pour conséquence que $\mathcal{L}(a, f'(a)u) = \mathcal{L}(a,u)$ pour $u \in T_a^{\mathbb{C}}M$ donc $f'(a)_{|T_a^{\mathbb{C}}M}$ est une isométrie de la forme hermitienne $\mathcal{L}(a,\cdot)$. Si $\mathcal{B}^{\mathbb{C}}$ désigne une base orthonormée pour $\mathcal{L}(a,\cdot)$, et $\mathcal{B} = (i\vec{N}(a), \mathcal{B}^{\mathbb{C}})$, on a donc :

$$\mathrm{Mat}(f'(a), \mathcal{B}, \mathcal{B}) = \begin{pmatrix} 1 & 0 \\ * & A \end{pmatrix} \quad \text{où } A \in U(k-1).$$

Il suffit alors de trouver un vecteur invariant de $i\vec{N} + T_a^{\mathbb{C}}M$ sous l'action de G pour que la matrice de $f'(a)$ dans la base constituée de ce vecteur et de $\mathcal{B}^{\mathbb{C}}$ soit telle que souhaitée.

A cette fin, remarquons que G induit une action affine sur l'espace $\mathcal{E} := \{i\vec{N} + T_a^{\mathbb{C}}M\}$ qui stabilise le compact $K := \{[u,\bar{u}](a), u \in T_a^{\mathbb{C}}M, \mathcal{L}(a,u) = 1\}$ ($K \subset \mathcal{E}$ par définition de la forme de Levi). Le centre d'inertie de K est donc un point fixe sous l'action de G du type souhaité. □

Références

[1] E. Bedford and S. Pinchuk. Domains in $\mathbf{C}^{n+1}$ with noncompact automorphism group. *J. Geom. Anal.*, 1(3) :165–191, 1991.

[2] E. Bedford and S. I. Pinchuk. Domains in $\mathbf{C}^2$ with noncompact groups of holomorphic automorphisms. *Mat. Sb. (N.S.)*, 135(177)(2) :147–157, 271, 1988.

[3] E. Bedford and S. I. Pinchuk. Convex domains with noncompact groups of automorphisms. *Mat. Sb.*, 185(5) :3–26, 1994.

[4] S. Bell. Local boundary behavior of proper holomorphic mappings. In *Complex analysis of several variables (Madison, Wis., 1982)*, volume 41 of *Proc. Sympos. Pure Math.*, pages 1–7. Amer. Math. Soc., Providence, RI, 1984.

[5] V. K. Beloshapka. The dimension of the group of automorphisms of an analytic hypersurface. *Izv. Akad. Nauk SSSR Ser. Mat.*, 43(2) :243–266, 479, 1979.

[6] F. Berteloot. Characterization of models in $\mathbf{C}^2$ by their automorphism groups. *Internat. J. Math.*, 5(5) :619–634, 1994.

[7] F. Berteloot. Attraction des disques analytiques et continuité höldérienne d'applications holomorphes propres. In *Topics in complex analysis*, volume 31 of *Banach Center Publ.*, pages 91–98. 1995.

[8] F. Berteloot. Méthodes de changement d'échelles en analyse complexe. *Ann. Fac. Sci. Toulouse Math.*, 2005.

[9] H. Boas and E. Straube. Sobolev estimates for the $\overline{\partial}$-Neumann operator on domains in $\mathbf{C}^n$ admitting a defining function that is plurisubharmonic on the boundary. *Math. Z.*, 206(1) :81–88, 1991.

[10] A. Boggess. *CR manifolds and the tangential Cauchy-Riemann complex.* Studies in Advanced Mathematics. CRC Press, Boca Raton, FL, 1991.

[11] D. Burns, Jr. and S. Shnider. Geometry of hypersurfaces and mapping theorems in $\mathbf{C}^n$. *Comment. Math. Helv.*, 54(2) :199–217, 1979.

[12] S. S. Chern and J. K. Moser. Real hypersurfaces in complex manifolds. *Acta Math.*, 133 :219–271, 1974.

[13] J. E. Fornaess. Biholomorphic mappings between weakly pseudoconvex domains. *Pacific J. Math.*, 74(1) :63–65, 1978.

[14] H. Gaussier. Characterization of models for convex domains. *Preprint.*

[15] I. Graham. Boundary behavior of the Carathéodory and Kobayashi metrics on strongly pseudoconvex domains in C^n with smooth boundary. *Trans. Amer. Math. Soc.*, 207 :219–240, 1975.

[16] A. V. Loboda. Linearizability of automorphisms of nonspherical surfaces. *Izv. Akad. Nauk SSSR Ser. Mat.*, 46(4) :864–880, 1982.

[17] A. Nagel, E. M. Stein, and S. Wainger. Balls and metrics defined by vector fields. I. Basic properties. *Acta Math.*, 155(1-2) :103–147, 1985.

[18] E. Opshtein. Dynamique des applications holomorphes propres des domaines réguliers et problème de l'injectivité. *Submitted*, 2004.

[19] S. Pinchuk. The scaling method and holomorphic mappings. In *Several complex variables and complex geometry, Part 1*, volume 52 of *Proc. Sympos. Pure Math.*, pages 151–161. Amer. Math. Soc., 1991.

[20] S. I. Pinchuk. Proper holomorphic maps of strictly pseudoconvex domains. *Sibirsk. Mat. Ž.*, 15 :909–917, 959, 1974.

[21] S. I. Pinčuk. Proper holomorphic mappings of strictly pseudoconvex domains. *Dokl. Akad. Nauk SSSR*, 241(1) :30–33, 1978.

[22] J.-P. Rosay. Sur une caractérisation de la boule parmi les domaines de $\mathbf{C}^n$ par son groupe d'automorphismes. *Ann. Inst. Fourier (Grenoble)*, 29(4) :ix, 91–97, 1979.

[23] S. M. Webster. On the transformation group of a real hypersurface. *Trans. Amer. Math. Soc.*, 231(1) :179–190, 1977.

[24] B. Wong. Characterization of the unit ball in $\mathbf{C}^n$ by its automorphism group. *Invent. Math.*, 41(3) :253–257, 1977.